

بررسی ویژگی‌های فیزیکوشیمیایی و ضد میکروبی فیلم خوراکی بر پایه پروتئین آب پنیر-ژلاتین حاوی اسانس

شنگ (*Tragopogon Graminifolius*)

الهام احمدی^{۱*}، معصومه حیدریگی^۲، حامد حسن زاده^۳، محمدیار حسینی^۴

- دکتری علوم و صنایع غذایی، مدرس گروه بهداشت و صنایع غذایی، دانشکده پیرادامپزشکی، دانشگاه ایلام، ایلام، ایران
- دانشجوی کارشناسی بهداشت مواد غذایی، گروه بهداشت و صنایع غذایی، دانشکده پیرادامپزشکی، دانشگاه ایلام، ایلام، ایران
- استادیار علوم و صنایع غذایی، گروه بهداشت و صنایع غذایی، دانشکده پیرادامپزشکی، دانشگاه ایلام، ایلام، ایران
- دانشیار علوم و صنایع غذایی، گروه بهداشت و صنایع غذایی، دانشکده پیرادامپزشکی، دانشگاه ایلام، ایلام، ایران

چکیده

پیشرفت بیوپلیمرهای نوآورانه به دست آمده از منابع کشاورزی یا ضایعات محصولات غذایی یکی از فناوری‌های پیشرو برای حفظ کیفیت، تازگی و ایمنی مواد غذایی است. ایده استفاده از پلیمرها برای طرفداران محیط زیست در کاربردهای بسته بندی و توانایی تشکیل فیلم آنها مورد توجه قرار گرفته است. در این مطالعه، فیلم فعال بسته بندی زیست تخریب بذر بر پایه ژلاتین و پروتئین آب پنیر و غلظت‌های مختلف (۰، ۱، ۲، ۳ و ۴ درصد) حاوی اسانس شنگ تهیه شدند. ویژگی‌های فیزیکوشیمیایی فیلم‌های فعال تولیدی مانند (حالیت، نفوذپذیری به بخار، ضخامت و کدورت)، آزمایشات مکانیکی (ازدیاد طول تا نقطه شکست، مقاومت به کشش و مدول یانگ)، فعالیت آنتی‌اکسیدانی و فعالیت ضد میکروبی در نظر گرفته شد. آزمایشات با سه تکرار با طرح کاملاً غلط (رانک) در غلظت (۰٪)، استحکام کششی (۱۱ مگاپاسکال) و مدول یانگ (۱۴۰ مگاپاسکال) در غلظت ۲٪ اسانس شنگ بود. تصادفی و آنالیز واریانس یکطرفه با نرم افزار SPSS²⁶ در سطح احتمال (۵٪) تحلیل شد. در بین تیمارها، کمترین میزان حالیت در غلظت ۴٪ عصاره شنگ و کمترین نفوذپذیری به بخار در غلظت پایین اسانس در تیمارها بود. بالاترین میزان ازدیاد طول در نقطه شکست (۲۴٪) در غلظت (۳٪)، استحکام کششی (۱۱ مگاپاسکال) و مدول یانگ (۱۴۰ مگاپاسکال) در غلظت ۲٪ اسانس شنگ بود. در بین تیمارها، اختلاف مقدار کدورت فیلم‌های حاصل معنی دار نبود ($p > 0.05$). اگرچه در بیشترین غلظت اسانس، بیشترین مقدار غلظت‌ها معنی دار بود ($p < 0.05$). ارزیابی فعالیت ضد میکروبی فیلم با کمک روش انتشار دیسک انجام گرفت. در این آزمون بیشترین قطر هاله بازدارندگی در غلظت (۴٪)، استافیلوکوکوس اورئوس و اشرشیاکلی با متوسط قطر هاله $8/3\text{ mm}$ بود. و کمترین قطر هاله بازدارندگی در همین غلظت برای سودوموناس $4/7\text{ mm}$ گزارش شد. نتایج حاصل از این تحقیق نشان داد با افزودن غلظت اسانس شنگ به میزان (۴٪) به فیلم آب پنیر-ژلاتین علاوه بر مهار رشد و تکثیر باکتری‌ها دارای خواص مکانیکی مطلوب

موجب بهبود خصوصیات آنتی اکسیدانی فیلم ترکیبی شد و همچنین می‌تواند به عنوان یک پوشش مناسب برای محافظت مواد غذایی استفاده گردد.

واژه‌های کلیدی: فیلم، اسانس شنک، ژلاتین، پروتئین آب پنیر، استحکام کششی

*مسئول مکاتبات: m.hosseini@ilam.ac.ir

۱- مقدمه

بسته بندی‌های موادغذایی از نظر اهمیت حفظ و نگهداری تمام انواع مواد غذایی و همچنین مواد خام به ویژه در مقابل اکسیداسیون و فساد میکروبی و همچنین افزایش مدت زمان ماندگاری دارای اهمیت هستند. افزایش استفاده از پلیمر‌های بسته بندی مواد غذایی، با توجه به عدم زیست تخریب‌پذیری کامل آنها منجر به مشکلات زیست محیطی گسترده و جدی شده است (۳۱). فیلم‌خوارکی^۱ یک لایه تشکیل شده از ماتریکس بیوپلیمری است که از ویژگی‌های فیزیکی و پیوستگی خوبی برخوردار است. ضخامت چنین فیلم‌هایی ۰/۲۵۰ میلی‌متر است (۲۳).

ژلاتین نیز نوعی پروتئین زیست سازگار است که از هیدرولیز اسیدی، قلایی یا آنزیمی کلژن موجود در پوست، بافت و استخوان حیوانات به دست می‌آید. ساختار کلژن لیفی نامحلول در آب به فرم مارپیچ سه‌گانه می‌باشد که با پیوندهای هیدرژنی بین زنجیره کووالانسی پایدار می‌گردد (۱۸). همچنین به دلیل محتوای بالای گلیسین، هیدروکسی پرولین و پرولین انعطاف‌پذیری بالایی داشته و خواص عالی در تشکیل فیلم از خود نشان می‌دهد (۳۷). با این حال، فیلم ژلاتین خالص خواص مکانیکی، آنتی اکسیدانی و ضد میکروبی پایینی از خود نشان می‌دهد و استفاده عملی از آن را به عنوان بسته‌بندی فعال محدود می‌کند. بنابراین، فیلم‌ها و پوشش‌های بسته‌بندی فعال معمولاً با بیوپلیمرهای مختلف، عصاره‌های طبیعی، افزودنی‌ها، نانوپرکننده‌ها ترکیب می‌شوند تا ویژگی های خود را بهبود بخشیده، اینمی غذایی را افزایش دهنده و نیازهای مصرف کننده را برآورده کنند (۳۰).

آب پنیر محصول جانبی کارخانه‌های پنیرسازی است که به عنوان یک افزودنی و بويژه به شکل پودرهای پروتئینی تغییض شده WPI یا ایزوله^۲ در بسیاری از مواد غذایی فرآوری شده مانند فرآورده‌های قنادی، نانوایی، بستنی و غذای کودک بکار برده می‌شود (۳۶). پلی‌فلن‌ها می‌توانند با پروتئین‌های مختلف از طریق پیوندهای برگشت پذیر ضعیف (مانند پیوند هیدرژنی، پیوند آبگریز، و نیروهای واندروالس) و برهمکنش‌های برگشت‌ناپذیر (از طریق تشکیل پیوندهای کووالانسی در نتیجه اکسیداسیون

¹Edible films

²Whey protein isolate

و فرآیندهای افزودن هسته دوست) با پروتئین های مختلف تعامل متفاوتی داشته باشند (۴). در نتیجه، ترکیب پلی فل ها در مواد

بسته بندی میتواند عملکرد آنها را بهبود بخشد (۸).

در سالهای اخیر وارد کردن عصاره و اسانس در پوششها و فیلمهای خوراکی به منظور ایجاد اثرات ضدمیکروبی و آنتیاکسیدانی

بسیار مورد توجه قرار گرفته است (۲۷). گیاه شنگ با نام علمی *Tragopogon graminifolius* از خانواده *Asteraceae* در

ارتفاعات ۱۴۰۰ متری مناطق زاگرس رویش می کند و دارای فرم رویشی علفی چند ساله می باشد که عموما از برگ های این گیاه

استفاده می شود (۱۹). ترکیبات شناسایی شده در این گیاهان مختلف از جنس فلاونوئیدها، ترپن ها، ساپونین ها، بنزیل و

هیدروایزوکومارین، ترکیبات فلی و استرون ها هستند، بسیاری از آنها شناسایی شده اند (۱۴). تکنولوژی فیلم های خوراکی علاوه

بر داشتن فوایدی مانند قابلیت خوردن، ساختمان ظاهری زیبا، سازگاری با محیط، غیرسمی و ارزان بودن، می تواند همراهی این

ترکیبات طبیعی با فیلم های خوراکی مواد غذایی را از آسیب های فیزیکی، شیمیایی، بیولوژیکی و کاهش دوز مصرفی اسانس با

حفظ اثربخشی آن ها حفظ می کند. حسینی و همکاران (۲۰۲۳) در پژوهشی خواص مکانیکی فیلم های خوراکی بر پایه ژلاتین

حاوی اسانس آویشن را بررسی کردند. نتایج آنها نشان داد که بیشترین مهار رشد و تکثیر باکتری ها و استحکام کافی مربوط تیمار

۲/۵ درصد بود (۲۰). اختر و همکاران (۲۰۱۹) در مطالعه ای نشان دادند که عصاره طبیعی گیاهان (رزماری و نعناع) یک افزودنی

مفید به فیلم های خوراکی (پکتین، کیتوزان و پلیمرهای نشاسته) است که باعث افزایش خواص عملکردی آنها می شود و بالاترین

فعالیت بازدارندگی در برابر همه سویه های بیماری زا (باسیلوس سوبتیلیس، اشرشیاکلی و لیستریا مونوسیتوژن) نشان داد (۱) با توجه

به اینکه تا کنون تحقیقی بر روی تولید و بررسی خصوصیات فیلم ترکیبی ژلاتین و پروتئین آب پنیر صورت نگرفته است، هدف

از این پژوهش بررسی تاثیر اسانس شنگ بر ویژگی های فیزیکو شیمیایی، مکانیکی، آنتیاکسیدانی و فعالیت ضد میکروبی فیلم

خوراکی پروتئین آب پنیر - ژلاتین می باشد.

۲- مواد و روش

۲-۱- مواد

ژلاتین، پروتئین آب پنیر و مواد شیمیایی مورد استفاده در این تحقیق ساخت شرکت مرک می باشد. گیاه شنگ،

GC-MS (از دانشکده کشاورزی دانشگاه ایلام تهیه شد. آنالیز اسانس ها با دستگاه *Tragopogon Graminifolius*)

Shimadzu (ژاپن) انجام شد.

۲-۲-استخراج اسانس شنگ

استخراج اسانس از شنگ به روش تقطیر با آب با استفاده از دستگاه کلونجر به مدت ۳ ساعت در دمای ۹۰ درجه سانتی گراد انجام شد. سپس عصاره جمع آوری شد و در دمای ۴ درجه سانتی گراد در شیشه تیره نگهداشته شد.

۲-۳-تهیه فیلم توکیبی

ابتدا ۵/۰ درصد پروتئین آب پنیر و ۱ درصد ژلاتین در آب مقطر استریل دیونیزه افزوده شده و با استفاده از همزن مغناطیسی در دمای ۵۰ درجه سانتی گراد بهمذده شد (۱۰ دقیقه). سپس ۳۵ درصد پلاستی سایزر گلیسروول (براساس وزن ماده خشک مصرفي) افزوده شد و به مدت ۱۵ دقیقه ترکیب شد. در مرحله بعد غلظت‌های (۰، ۱، ۲، ۳ و ۴ درصد) از اسانس شنگ به محلول افزوده شد. پس از افزودن ۰/۲ درصد توئین ۸۰ به عنوان امولسیفایر با دستگاه اولتراسونیک هموژنایزر به مدت ۲۰ دقیقه یکنواخت شد. در نهایت محلول‌های حاصل داخل پلیت‌ها ریخته شد و پس از خشک شدن کامل در دمای محیط فیلم‌ها از پلیت جدا شده و داخل فویل‌های آلومینیومی در دسیکاتور حاوی نیترات منیزیم اشاع در دمای ۲۵ درجه سانتی گراد و رطوبت نسبی ۵۰ درصد به مدت ۷۲ ساعت برای انجام آزمایشات قرار داده شد (۳).

۲-۳-۱-اندازه گیری ضخامت فیلم‌ها

ضخامت فیلم‌های تولیدی توسط میکرومتر (Mitutoyo ژاپن) با دقت نزدیک به ۰/۰۰۰۱ میلی متر و در ۵ نقطه مختلف از هر نمونه اندازه گیری شد (۱۸).

۲-۳-۲-اندازه گیری کدورت فیلم

برای تعیین ویژگی‌های نوری فیلم‌ها از دستگاه اسپکتروفتو متر (Shimadzu ژاپن) استفاده شد. به این منظور نمونه‌های فیلم به ابعاد ۴۰×۹ میلی متر بریده شده و داخل سلول اسپکتروفتو متر قرار گرفته شدند. یک نمونه سلول خالی نیز به عنوان شاهد در نظر گرفته شد. میزان عبور نور در طول موج‌های مختلف و همچنین جذب آن در طول موج ۵۰۰ نانومتر بررسی شد. از فرمول زیر برای اندازه گیری کدورت استفاده شد (۲).

ضخامت فیلم / میزان جذب در 500 nm = کدورت فیلم

۲-۳-۳-حلالیت

نمونه های فیلم (۲ سانتی متر \times ۲ سانتیمتر) به مدت یک شب در دمای 105°C توسط آون خشک و توزین (W_1) شدند. سپس نمونه ها در ۲۵ میلی لیتر آب مقطر به مدت ۲۴ ساعت در دمای 25°C غوطه ور شدند، بعد از گذر این زمان از آب خارج شده و در دمای 105°C برای محاسبه وزن نهایی ماده خشک (W_2) خشک شدند(۲). حلالیت در آب نمونه های فیلم با توجه به رابطه زیر تعیین شد : که در آن W_1 وزن خشک اولیه و W_2 وزن خشک نهایی می باشند.

$$\frac{(W_1 - W_2)}{W_1} \times 100 = \text{حلالیت}$$

۲-۳-۴-نفوذپذیری نسبت به بخار آب(تراوش پذیری)

نفوذپذیری نسبت به بخار آب به روش وزن سنجی انجام شد(ASTM-E96-95, 1995). در یک ظرف ۱۴ میلی لیتری، ۱۰ میلی لیتر آب مقطر ریخته شد و توسط فیلم های مورد بررسی با مساحت $1/5$ سانتی متر مربع درب بندی شد. بطری دربندی شده ابتدا توزین گردید و در محفظه دارای سیلیکاژل با میزان رطوبت نسبی و دمای مشخص قرار گرفت. هر ۱۲ ساعت و به مدت ۳ روز توزین ظرف انجام شد. سپس نمودار تغییرات وزن ظرف در برابر زمان رسم شد. شیب آن محاسبه و میزان نفوذپذیری نسبت به رطوبت با فرمول زیر محاسبه شد (۲۰).

$$WVP1 (\text{gm}^{-1}\text{pa}^{-1}\text{s}^{-1}) = \frac{WXX}{A \times t \times \Delta p}$$

W میزان اختلاف وزن بطری، X ضخامت فیلم ژلاتینی، A مساحت فیلم ژلاتینی (m^2), t زمان بر حسب ثانیه و Δp اختلاف فشار بخار اتمسفر دو سمت فیلم، ظرف حاوی آب خالص و محفظه دارای سلیکاژل است.

۲-۳-۵-ویژگی های مکانیکی

خواص مکانیکی فیلم ها شامل قدرت کششی (مگاپاسکال)، افزایش طول تا نقطه شکست (درصد) و مدول یانگ (مگاپاسکال) می باشد. این ویژگی ها بر اساس استاندارد ASTM-D882 و با استفاده از دستگاه بافت سنج (TA-Plus, England) محاسبه شد (ASTM2001). ابتدا فیلم ها به ابعاد $1 \times 10 \text{ cm}^2$ بریده شدند و ضخامت در 10 نقطه محاسبه گردید. فیلم ها به مدت ۳ روز در دسیکاتور حاوی محلول منیزیم نیترات با رطوبت ۵۵ درصد و دمای 25 درجه سانتی گراد مشروط شدند.

^۱ water vapor permeability

سپس بین دو فک دستگاه بافت سنج با فاصله اولیه ۵۰mm و سرعت حرکت فک ۵۰mm/min قرار داده شدند و ویژگی های مکانیکی شامل قدرت کششی، درصد افزایش طول تا نقطه شکست (تغییر طول نمونه تقسیم بر طول اولیه ضرب در ۱۰۰) و همچنین مدلول یانگ بر اساس آزمون انعطاف پذیری میله پایه دار محاسبه گردید که نشان دهنده سفتی محصول در محدوده الاستیک خطی است (۲۰ و ۲۴).

۶-۳-۲- خواص آنتی اکسیدانی

فعالیت آنتی اکسیدانی فیلم های ژلاتین توسط تغییر رنگ رادیکال DPPH از بنفش به هیدرازین های زرد رنگ اندازه گیری شد. برای این منظور ۳۰ میلی گرم از هر فیلم در نسبت های برابر آب مقطر و مтанول (نسبت ۳ به ۳) حل شد. پس از حل شدن تمام فیلم ها، به مدت ۱۵ دقیقه با دور ۴۰۰۰ rpm سانتریفیوژ (Universal آلمان) شد. سپس به مدت ۱۲ ساعت در دمای ۴ درجه سانتی-گراد نگهداری شد (۱ شب استراحت) و دوباره به مدت ۱۵ دقیقه با دور ۴۰۰۰ rpm سانتریفیوژ شد. سپس ۱ میلی لیتر از قسمت رویی محلول سانتریفیوژ شده هر فیلم با ۴ میلی لیتر محلول ۱/۰ میلی مولار مтанولی DPPH محلوط شد و به مدت ۳۰ دقیقه در تاریکی در دمای اتاق نگهداری شد. سپس جذب هر یک در ۵۱۷ نانومتر توسط اسپکتروفوتومتر اندازه گیری شد (AS). به عنوان شاهد، ۱ میلی لیتر از محلول آب و مтанول (۳ میلی لیتر آب مقطر + ۳ میلی لیتر مтанول) با ۴ میلی لیتر محلول ۱/۰ میلی مولار مтанولی DPPH به مدت ۳۰ دقیقه در انکوباتور (Memmert آلمان) در دمای اتاق نیز نگهداری شد و جذب آن در ۵۱۷ نانومتر با دستگاه Shimadzu (ژاپن) اندازه گیری شد (Ab). در نهایت فعالیت مهار رادیکال DPPH مطابق معادله زیر محاسبه شد (۲۰).

$$\text{DPPH scavenging activity} = \frac{(A_b - A_s)}{A_b} \times 100$$

۶-۳-۳- اندازه گیری فعالیت ضد میکروب

از روش انتشار دیسک آگار برای تعیین فعالیت ضد میکروبی فیلم ها بروی باکتری های مدل اشريشیا کلی، استافیلوکوکوس اورئوس و سودوموناس آئرزوینوز استفاده شد. برای این منظور 10^6 cfu/g (۱۰۰۰ میلی متر) از هر یک از سوسپانسیون های باکتریایی به محیط کشت مولر هیستون آگار تلقیح شد. سپس دیسک هایی به قطر ۶ میلی متر از هر فیلم برش داده شد و بر روی سطح آن گذاشته شدند. سپس به مدت ۲۴ ساعت در دمای 35 ± 2 درجه سانتی گراد گرمخانه گذاری شدند. در نهایت قطر مناطق مهار رشد (میلی متر) برای تعیین فعالیت ضد میکروبی اندازه گیری شد (۲۰).

۴-۲-تجزیه و تحلیل آماری

تمامی آزمایشات در سه تکرار ($n=3$) با نمونه‌گیری کاملاً تصادفی انجام شد. آنالیز واریانس یکطرفه (ANOVA) و مقایسه میانگین داده‌ها براساس آزمون چند دامنه‌ای دانکن با استفاده از نرم افزار SPSS 26 در سطح احتمال ۰/۰۵ انجام گرفت.

۳-نتایج و بحث

۱-آزمون مکانیکی

خواص مکانیکی در فیلم‌های خوراکی یکی از مهمترین ویژگی‌ها در بیان دوام و توانایی آن در افزایش یکپارچگی مکانیکی ساختار فیلم و همچنین حداکثر توانایی فیلم‌ها در برابر تنفس می‌باشد (۱).

نتایج حاصل از آزمون‌های مکانیکی نمونه‌های فیلم ترکیبی ژلاتین-پروتئین آب پنیر در جدول ۱ آمده است. نتایج آنالیز آماری اختلاف معنی‌داری از آزمون‌های افزایش طول در نقطه شکست، مقاومت کششی و مدول یانگ را در تیمارهای جدول ۱ نشان داده است ($p<0.05$). میزان افزایش طول تا نقطه شکست (کشش پذیری) با افزایش غلظت عصاره شنگ زیاد شد و در غلظت (۳٪) این عصاره، به بیشترین مقدار خود (۶۹/۲۴٪) مگاپاسگال رسید که می‌تواند ناشی از ازدیاد پیوند هیدروژنی بین مولکولی ژلاتین و پروتئین آب پنیر و نرم کننده (گلیسرول) در اثر جذب آب بیشتر می‌باشد. در غلظت ۴٪ عصاره، توزیع ذرات همگن‌تر و ساختار محکم‌تر و فشرده‌تر شده و ایجاد پیوندهای هیدروژنی درون مولکولی بجای پیوندهای هیدروژنی بین مولکولی میزان درصد افزایش طول کاهش می‌یابد (۵۶/۲۳٪).

فیوره و همکاران (۲۰۲۱) فیلم سدیم کازئینات/کیتوزان حاوی انسانس رزماری را تهیه کردند. آنها مشاهده کردند که افزودن انسانس رزماری باعث افزایش معنی‌داری استحکام کششی فیلم شد. مقاومت به کشش به استحکام پلیمر وابسته است، به دلیل افزایش پیوندهای ساختاری و ایجاد برهمکنش‌ها مناسب با ملکول ژلاتین پروتئین و می‌باشد (۱۵). در غلظت ۳٪، بیشترین مقدار مشاهده می‌گردد و با افزایش غلظت انسانس شنگ، مقدار آن کم می‌شود که این کاهش مربوط به تجمع ذرات و برهمکنش پلیمر می‌باشد که کاهش پیوند هیدروژنی بین عصاره و پایه فیلم موجب تضعیف پلیمر و همچنین در اثر نفوذ پلاستی سایزر مقاومت به کشش کم می‌شود.

رفتار مدول یانگ با تغییرات میزان مقاومت کششی و افزایش طول در نقطه شکست هم جهت است. افزایش مدول یانگ احتمالاً به این دلیل است که عصاره می‌تواند باعث بهبود ویژگی الاستیسیته فیلم گرددند که باعث افزایش تغییرات طولی نسبت به تغییرات

عرضی در زنجیره و ترکیبات می‌گردد. این مدول تحت تاثیر توزیع و چگالی فعل و انفعالات درون و بین ملکولی در ساختار فیلم است. میتوان رفتار افزایشی مقاومت کششی و مدول یانگ را به تأثیر اسانس و تعامل قوی بین گلیسرول و ژلاتین - پروتئین آب پنیر نسبت داد.

پیرووس و همکاران (۲۰۱۷) در پژوهشی بر روی فیلم‌های بر پایه نشاسته، رفتار کاهشی مقاومت کششی و مدول یانگ را به تأثیر اسانس بر ساختار هتروژن فیلم و تعامل ضعیف بین گلیسرول و نشاسته نسبت دادند که با نتایج ما مغایرت داشت (۲۹).

جدول ۱- خواص مکانیکی فیلم‌های خوراکی

تیمار	کشش(مگاپاسکال)	ازدیاد طول در نقطه شکست(درصد)	مدول یانگ (مگاپاسکال)
۰٪.	۳/۲۴ ± ۰/۰۶ ^d	۰/۷ ۰±/۳۲ ^c	۳۷/۶۳ ± ۰/۵۵ ^a
۱٪.	۷/۹۳±۰/۱۵ ^c	۱۷/±۲۴ ۰/۱۸ ^b	۸۲/۱۶ ± ۰/۵۸ ^c
۲٪.	۱۱/۲ ± ۰/۰۳ ^a	۲۳/۶۵±۱/۳۵ ^a	۱۴۰/۲±۱/۳ ^a
۳٪.	۹/۴ ۰±۰/۶۴ ^b	۲۴/±۶۹ ۱/۵ ^a	۱۰۲/۱±۱۳/۱ ^b
۴٪.	۱۰/۵ ± ۰/۴۶ ^a	۲۳/±۵۶ ۱/۶۱ ^a	۱۰۳/۱±۹/۶۳ ^b

نتایج به صورت میانگین ± انحراف استاندارد در سه تکرار گزارش شده است. حروف متفاوت در هر ردیف نشان دهنده تفاوت معنی‌داری در سطح ۵ درصد ($p < 0.05$) است.

۳-۲- خواص فیزیکی فیلم‌های تولیدی (کدورت، ضخامت، حلالیت و نفوذپذیری به بخارآب)

کدورت معیاری است جهت سنجش شفافیت فیلم‌هاست که هرچه کدورت بالاتر باشد شفافیت کمتر است. شفافیت فیلم‌های فعل به دلیل تأثیر آن بر ویژگی‌های ممانعت کنندگی نور و ظاهر فیلم‌های بسته بندی، می‌باشد که نقص مهمنی در بسته بندی موادغذایی ایفا می‌کند (۲).

نتایج حاصل از خواص فیزیکی نمونه‌های فیلم در جدول ۱ نشان داده شده است، مقایسه میزان کدورت فیلم‌های تولیدی نشان داد که اختلاف معنی داری بین آنها وجود نداشت ($p > 0.05$). محدوده پایین کدورت در فیلم‌های ژلاتین- پروتئین آب پنیر بالاتر و رنج بالای کدورت در فیلم‌های ترکیب شده ژلاتین- پروتئین آب پنیر در فیلم مشاهده شد که بیانگر وجود ناخالصی در محلول ژلاتین- پروتئین آب پنیر، با افزایش غلظت اسانس شنگ، ساختار غیر یکنواخت همراه با منافذ در فیلم ایجاد می‌شود، ناهمگن بودن ذرات در اثر افزایش ضخامت یا در نتیجه جذب نور توسط ترکیبات فنولی موجود در اسانس باشد. در این راستا، علیزاده

ثانی و همکاران (۲۰۲۲) گزارش دادند که افزودن عصاره زعفران و توت قرمز باعث کاهش قابل توجه شفافیت فیلم های بر پایه

ژلاتین/کاپا کاراگینان شدند (۲).

ضخامت فیلم از بعد ترکیبی همیشه تحت تاثیر افزودن ترکیبات مختلف نظیر امولیسیفايرها، پلاستیسايزرها و مقدار ماده خشک و نیز افزودنیهایی مثل انسنسها است. همانطور که در جدول ۲ نشان داده شده، ضخامت فیلم ها در تمامی غلظت ها بجز غلظت ۴٪ معنی دار است ($p < 0.05$). ضخامت فیلم های بر پایه ژلاتین - پروتئین آب پنیر رابطه مستقیمی با میزان محتوی جامد فیلم دارد. ضخامت فیلم ها از ۰/۱۶ تا ۰/۱۹ میلی متر متفاوت است. فیلم ژلاتین خالی و پروتئین آب پنیر دارای کمترین میزان ضخامت بود. ضخامت فیلم ها از ۰/۱۴ تا ۰/۱۹ میلی متر متفاوت است. فیلم ژلاتین خالی و پروتئین آب پنیر دارای کمترین میزان ضخامت است. علت این افزایش ضخامت را می توان به تراکم ذرات کوچک انسنس در فیلم نسبت داد که تاثیر کمی بر تغییر ضخامت فیلم های تهیه شده دارد. علاوه بر آن، افزودن انسنس سبب ایجاد ساختار غیریکنواخت همراه با منافذ می شود که نشان دهنده افزایش ضخامت است (۱۶/۷). ولی با افزایش بیشتر غلظت تا ۴٪ ضخامت کمتر شد.

دی جوزپه و همکاران (۲۰۲۲) مشاهده کردند که افزودن انسنس رزماری باعث تغییر قابل توجهی در میزان ضخامت فیلم های بر پایه کیتوزان و سدیم کازئینات نشد (۹). که با نتایج ما مغایرت داشت. دلیل آن را تفاوت در ماهیت انسنس های مورد بررسی می باشد.

فرناندر و همکاران (۲۰۰۴) از پلاستیسايزرها مختلف همانند گلیسرول، اریتریتول و سوربیتول استفاده کردند و فیلم های ترکیبی حاصل هر کدام ضخامت متفاوتی داشتند به صورتی که فیلم ترکیبی حاوی گلیسرول بیشترین ضخامت را داشت. بنابراین، مشاهده ضخامت های مختلف متأثر از ماهیت و ترکیب فیلم و نوع تعامل میان ترکیبات مختلف فیلم با منشاء های متفاوت است که ساختارهای متفاوتی را ایجاد می کنند (۱۴).

مقدار حلالیت بین همه غلظت های انسنس های مورد استفاده معنی دار بود ($p < 0.05$). به طور کلی در تمامی تیمارها درصد حلالیت فیلم ترکیبی کمتر از شاهد شد و با افزایش غلظت عصاره شنگ به فیلم ترکیبی، حلالیت به ۴۶٪ کاهش یافت. تفاوت در میزان حلالیت، به غلظت و ماهیت گروه های عاملی ترکیبات بستگی دارد. افزودن انسنس به ترکیب فیلم، باعث می شود که اجزای غیر قطبی عصاره با دامنه هیدروفیل ژلاتین در تعامل بوده و باعث افزایش آبگریزی و کاهش حلالیت فیلم حاصل گردد.

در بررسی اثر اسانس اسطوخودوس بر روی فیلم نشاسته/فورسلاران/ژلاتین دریافتند که با افزایش میزان اسانس حلالیت فیلم‌ها در

آب کاهش می‌یابد (۲۱). نفوذپذیری نسبت به بخار آب یک فاکتور مهم در مواد بسته بندی است و توانایی فیلم‌ها در محدود کردن انتقال رطوبت بین دو طرف داخلی و خارجی فیلم‌ها نشان می‌دهد (۲۲ و ۳۸).

بر اساس مطالعات Bravin و همکاران (۲۰۰۶) ضخامت نیز در میزان نفوذپذیری به بخار آب تأثیرگذار است بدین ترتیب که با افزایش ضخامت نفوذناپذیری فیلم به بخار آب افزایش می‌یابد (۵). در جدول ۲ نتایج نفوذپذیری با بخار آب در تمام غلظت‌ها معنی‌دار بود و در حضور غلظت زیاد اسانس ۴٪ به‌طور معنی‌داری به 5.34 g/cm^2 (گرم بر متر ثانیه پاسکال) افزایش یافت ($p < 0.05$).

دلیل این رفتار احتمالاً به علت وجود ترک و شکاف ایجاد شده به علت تبخیر عصاره موجود در فرمولاسیون فیلم‌ها می‌باشد. علاوه

بر آن نسبت ترکیبات آب‌دوست به آب گریز مواد موجود در فیلم، تأثیر مستقیمی روی میزان انتقال بخار در فیلم دارد این نتایج با نتایج حسینی و همکاران (۲۰۲۳) هماهنگ می‌باشد که با افزایش اسانس پونه کوهی، نفوذپذیری به بخار آب فیلم‌های بر پایه ژلاتین افزایش یافت (۲۰). همچنین علت این افزایش را به پیوستگی بستر یا ماتریس پلیمرها در حضور عصاره نسبت می‌دهند. ژانگ و همکاران، (۲۰۱۹) ولی و همکاران، (۲۰۱۱) فیلم خوارکی کیتوزان تحت تأثیر غنی سازی با عصاره سیب‌زمینی شیرین و عصاره پوست آلو سیاه قرار دادند. نتایج نشان داد، که افزایش نفوذپذیری به بخار آب ممکن است به دلیل گروه‌های آبدوست بیشتری باشد که در اسانس‌ها وجود دارد که بر ویژگی‌های مانع آب فیلم‌ها تأثیر می‌گذارد (۳۹ و ۲۶).

نفوذپذیری فیلم‌های خوارکی مربوط به مسیرهای ریز موجود در شبکه میکرو ساختاری پروتئین فیلم مانند کنسانتره آب پنیر و وجود اسیدهای آمینه آبدوست در ساختارشان است، در جلوگیری از انتقال رطوبت ضعیف عمل می‌کند (۲۶). بنابراین یک راه دیگر برای کاهش تروایی فیلم‌های پروتئینی پرکردن منافذ موجود در شبکه پروتئینی فیلم است نانوذرات فضاهای خالی بین مولکولی را پر و سبب کاهش نفوذپذیری نسبت به بخار آب فیلم‌ها می‌شوند. همچنین نفوذپذیری آب را می‌توان با افزودن روغن‌ها یا موم زنبور عسل که مواد آب گریز هستند تغییر داد که با گلیسرول تغییر داده شد.

جدول ۲- خواص فیزیکی فیلم‌های خوارکی

ضخامت(میلی متر)	کدورت	نفوذپذیری(گرم بر متر ثانیه پاسکال)	حالالت(درصد)	تیمار
$0.14/4^d$	$0.58/0.6^c$	$1/\pm 0.14/13^c$	0.75^a	%
$0.18/2^c$	$0.83/0.51^b$	$1/\pm 0.61/14^d$	0.97^b	٪

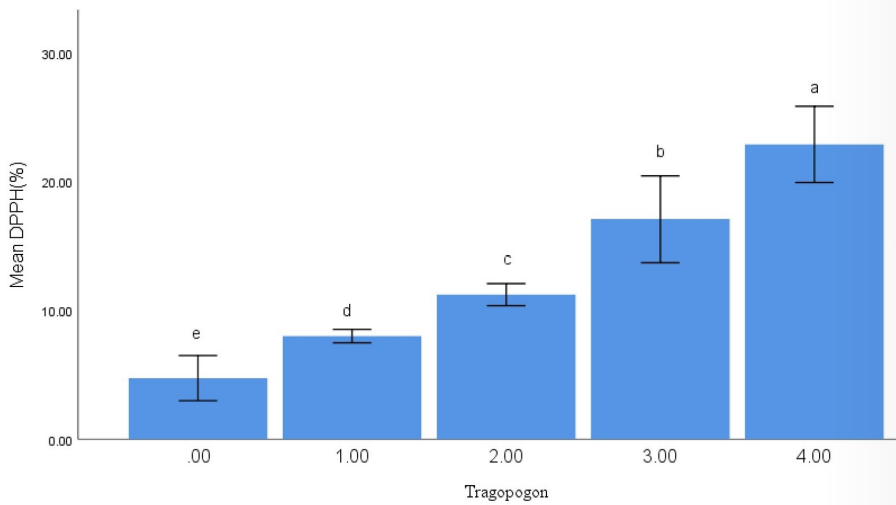
۲٪.	۵۶/±۰/۴۱ ^c	۳/±۰۳۷/۱۷ ^c	۰/±۰۸۶/۰۱ ^b	۰/±۰۱۹/۳۹ ^b
۳٪.	۴۹/±۲۳/۹۶ ^d	۴/±۰۲۸/۲۱ ^b	۰/±۰۹۷/۰۱۵ ^a	۰/±۰۲۱/۰۱ ^a
۴٪.	۴۶/۰۱±۰۷/۹۶ ^c	۵/±۰۳۴/۳۴ ^a	۱/±۰۱۰/۰۲ ^a	۰/±۰۱۹/۴۸ ^b

نتایج به صورت میانگین ± انحراف استاندارد در سه تکرار گزارش شده است. حروف متفاوت در هر ردیف نشان دهنده تفاوت معنی داری در سطح ۵ درصد ($p < 0.05$) است.

۳-۳-فعالیت آنتی اکسیدانی

شکل ۱ نمودار حاصل از فعالیت آنتی اکسیدانی تیمارها در غلظت های مختلف انسانس شنگ را نشان میدهد که در تمامی غلظت ها به صورت معنی داربود. و با افزایش درصد انسانس، قدرت مهار رادیکال تیمارها نسبت به فیلم شاهد به صورت معنی داری افزایش یافت ($p < 0.05$). که احتمالاً بدلیل افزایش ترکیبات فنولی موجود در گیاه (*Tragopogon Graminifolius*) مانند ترکیبات آپیژنین، لوتوولین، کوئرستین، ویتکسین، ایزوویتکسین، ویسنین-۱ و ۲، سویرتیزین، اورینتین، ایزوریتین، لوسینین-۱ و ۲ به دست آمده در انسانس می باشد (۱۳).

آنتی اکسیدان ها به دلیل مهار واکنش های اکسیداسیون و افزایش ماندگاری محصولات غذایی در فیلم های بسته بندی فعال استفاده می شوند (۳۵). فیلم ژلاتین و آب پنیر پروتئین خالص دارای فعالیت آنتی اکسیدانی ضعیفی بود که نشان دهنده عدم وجود گروه های عاملی حذف کننده رادیکال آزاد در ساختار ژلاتین ولی فیلم های حاصل از پروتئینهای آب پنیر بازدارنده ای مناسب برای اکسیژن هستند (۲۸). بطوری که کمترین و بیشترین فعالیت آنتی اکسیدانی در فیلم شاهد و فیلم ترکیبی در غلظت ۴٪ می باشد. در فیلم حاوی غلظت های متفاوت انسانس شنگ مشاهده شد که به دلیل وجود برخی آمینواسیدهای خاص مانند گلاسین و پرولین در ژلاتین و همچنین وجود آمینواسیدهای حلقوی مانند تریپوفان، فنیل آلانین و تیروزین می باشد (۱۰). مشابه با نتایج ما، هم سوی چین و همکاران ۲۰۱۷ گزارش دادند که افزودن ژل آلوئه ورا به فیلم بر پایه ژلاتین منجر به فعالیت آنتی اکسیدانی فیلم شد، که با افزایش غلظت آلوئه ورا این فعالیت افزایش میابد. فعالیت آنتی اکسیدانی آلوئه ورا مرتبط با ترکیبات فنولی موجود در این ژل می باشد (۳۶). علاوه بر این، انسانس رزماری گنجانده شده در فیلم کیتوزان دارای فعالیت آنتی اکسیدانی بود که این فعالیت رابطه مستقیمی با افزایش غلظت انسانس رزماری داشت (۳۳).



شکل ۱- خواص آنتی اکسیدانی تیمارهای فیلم های ژلاتین-پروتئین آب پنیر با غلظت های مختلف اسانس شنگ

۴-۳-۴- فعالیت ضد میکروبی

توانایی مهار یا جلوگیری از فساد یا رشد میکرووارگانیسم های بیماری زا روی مواد غذایی یکی دیگر از ویژگی های مهم مواد بسته بندی فعال است (۳۵) . فعالیت ضد میکروبی فیلم ها در شکل ۲ نشان داده شده است. در تمام تیمارهای دارای اسانس شنگ

فعالیت ضد میکروبی موثری در برابر هر سه گونه مورد آزمایش باکتری اشریشیاکلی، استافیلوکوکوس اورئوس و سودوموناس نشان دادند. اثر بخشی فیلم خوراکی در برابر رشد میکروبی به ماهیت اسانس و نوع میکرووارگانیسم ها بستگی دارد.

اثر غلظت های مختلف اسانس شنگ جهت کاهش یا جلوگیری از رشد میکرووارگانیسم های اشریشیاکلی، استافیلوکوکوس اورئوس و پسودوموناس به روش انتشار آگار مورد بررسی قرار گرفت.

روکش ها و محلول تشكیل دهنده فیلم بدون اسانس (شاهد) هیچ اثر بازداری را در برابر میکرووارگانیسم های مورد بررسی نشان ندادند. این نتایج با نتایج به دست آمده در مورد فیلم های پروتئین آب پنیر توسط کاگری و همکاران (۲۰۰۱) در یک راستا می

باشد (۶). با این حال افزودن اسانس شنگ به فیلم بر پایه ژلاتین و پروتئین آب پنیر، باعث فعالیت آنتی باکتریال قابل توجه فیلم شد. افزایش غلظت عصاره اثر معنی داری بر افزایش قطر هاله عدم رشد میکرووارگانیسم های مورد بررسی داشت ($p < 0.05$).

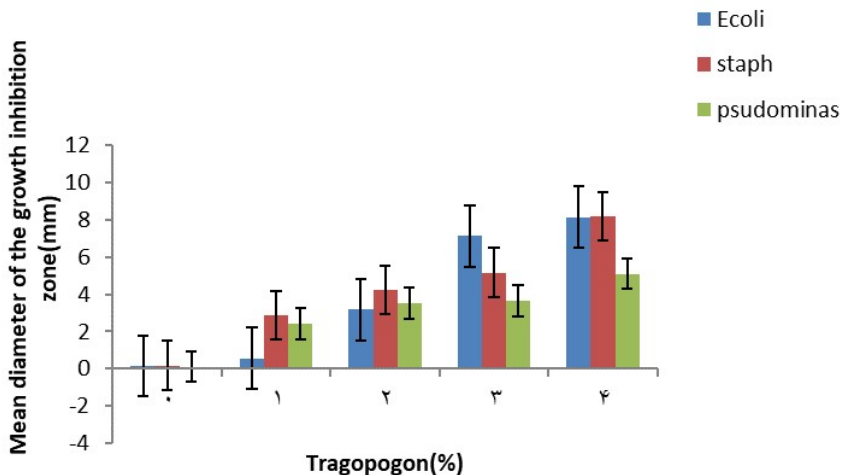
بیشترین میزان مهار رشد در هر سه گونه باکتریای سودوموناس آئروژنر و اشریشیاکلی و باکتری استافیلوکوکوس اورئوس در تیمار (۴٪) بود. بیشترین مهار رشد برای استافیلوکوکوس اورئوس با افزایش غلظت اسانس تا ۲٪ ولی با افزایش بیشتر غلظت ۳٪ و (۴٪) مربوط به باکتری اشریشیاکلی با بیشترین مهار به ترتیب ۷/۸ و ۸/۳ داشت.

اسانس‌های گیاهی و ترکیبات مؤثر آن‌ها در برابر انواع گستره‌ای از میکروارگانیسم‌ها شامل باکتری‌های گرم منفی و گرم مثبت فعال شناخته شدند. هر چند در برخی بررسی‌ها باکتری‌های گرم مثبت مقاومتی مانند باکتری‌های گرم منفی نشان دادند (۲۸).

خاصیت مهارکنندگی بیشتر اسانس‌های مورد مطالعه بر روی باکتری‌های گرم مثبت نسبت به گرم منفی می‌تواند به علت اتصال گروه‌های هیدروکسیل ترکیبات فنلی موجود در عصاره به گروه N استیل گلوگر آمین موجود در دیواره سلولی باکتری‌های گرم- مثبت باشد و مقاومت بیشتر باکتری‌های گرم منفی به عصاره ممکن است؛ به علت وجود لیپوپلی‌ساکاریدهای غشاء بیرونی باکتری‌های گرم منفی نسبت داده شود که ذاتاً به عوامل خارجی مانند آنتی‌بیوتیک‌ها و شوینده‌ها مقاومند (۱۱ و ۲۵). فعالیت ضد میکروبی محلول ژلاتینی بیشتر به علت وجود زنجیره الیگوپیتیدی حاصل از آبکافت ژلاتین می‌باشد. با افزایش غلظت پوشش در محلول پوشش‌دهی خاصیت ضد میکروبی افزایش یافت که احتمالاً به دلیل افزایش ضخامت فیلم تشکیل شده روی سطح اسانس شنگ و اثر ممانعتی قوی تر آن به نفوذ اکسیژن می‌باشد. در مطالعه‌ای که توسط سلیمانی و همکاران (۱۳۸۹) انجام پذیرفت، نتایج نشان داد که بیشترین میزان هاله عدم رشد باکتری‌ها مربوط به باسیلوس سرئوس با قطر ۴۵ میلی‌متر، باسیلوس سوپیلیس ۲۱ میلی‌متر، استافیلوکوکوس اورئوس ۲۰ میلی‌متر، شیگلافلکسبری ۱۸ میلی‌متر، اشریشیا کلی ۱۶ میلی‌متر و سالمونلا تیفیموریوم ۸ میلی‌متر، بود. آنها اعلام کردند که دلیل اصلی خواص ضد باکتریایی اسانس زیره، حضور کومین آلدئید در آن است (۳۲).

الانساری و همکاران (۲۰۲۰) اثر ضد میکروبی شش گیاه از گونه *Ferocactus* را روی پنج باکتری باسیلوس سرئوس، اشریشیا کلی، لیستریا مونوستیوئنر، مارینیلوتای کوکوس فلاووس و استافیلوکوکوس اورئوس بررسی کردند که نشان دهنده اثر ضد میکروبی قابل توجه اسانس این گونه‌ها بر دو باکتری اشریشیا کلی و استافیلوکوکوس اورئوس در مقایسه با سایر باکتری‌ها بود که با نتایج ما مطابقت داشت (۱۱).

ریحان‌اخته و همکاران (۲۰۱۹) در بررسی فیلم‌های بیوکمپوزیت حاوی اسانس رزماری و نعناع، مهار رشد هر دو گروه گرم مثبت و گرم منفی را نتیجه وجود اجزای پلی‌فنولیک دانستند (۱۲). بنابراین می‌توان نتیجه گرفت که به دلیل مهار رشد هر دو گروه باکتری‌های گرم مثبت و گرم منفی توسط فیلم‌های ترکیبی ژلاتین-آب پنیر می‌توانند برای نگهداری مواد غذایی مؤثر باشد و باعث افزایش ماندگاری و حفظ کیفیت و ایمنی محصول گرددند.



شکل ۲- فعالیت ضد میکروبی فیلم های ژلاتین- پروتئین آب پنیر با تیمارهای مختلف اسانس شنگ

۴- نتیجه گیری کلی

نتیجه آزمایش های انجام شده بر روی فیلم خوراکی ژلاتین- پروتئین آب پنیر نشان داد که مقادیر کدورت فیلم های ژلاتین- پروتئین آب پنیر حاصل معنی دار نبود ($p > 0.05$). بیشترین مقدار ضخامت در غلظت ۳٪ عصاره شنگ بدست آمد که از لحاظ آماری معنی دار بود ($p < 0.05$). میزان حلalیت با افزایش میزان عصاره شنگ کاهش یافت و نفوذپذیری به رطوبت تمامی تیمارها با افزایش میزان عصاره شنگ به طور معنی داری افزایش یافت. افزایش طول تا نقطه شکست، مقاومت به کشش و مدول یانگ در تمامی تیمارها با افزایش غلظت عصاره شنگ در محیط از لحاظ آماری معنی دار نبود ($p > 0.05$). فعالیت آنتی اکسیدانی در همه غلظت ها معنی دار بود و همچنین بیشترین تاثیر در فعالیت ضد میکروبی در اشرشیاکلی و استافیلوکوکوس اورونوس در غلظت ۴٪ مشاهده شد. به طور کلی می توان نتیجه گرفت فیلم های فعال ژلاتین- پروتئین آب پنیر در حضور غلظت زیاد عصاره شنگ، بالاترین کارایی و ویژگی های مطلوب را دارد و می توانند با تأخیر در اکسیداسیون لیپیدها، خواص مکانیکی و فیزیکوشیمیایی مطلوب، به عنوان یک پوشش مناسب برای محافظت مواد غذایی استفاده گردند.

- 1- Akhter R, Masoodi F, Wani TA, Rather SA. Functional characterization of biopolymer based composite film: Incorporation of natural essential oils and antimicrobial agents. *International journal of biological macromolecules.* 2019; 137:1245-55.
<https://doi.org/10.1016/j.ijbiomac.2019.06.214>.
- 2- Alizadeh Sani M, Tavassoli M, Salim SA, Azizi-lalabadi M, McClements DJ. Development of green halochromic smart and active packaging materials: TiO₂ nanoparticle- and anthocyanin loaded gelatin/κ-carrageenan films. 2022; 124: 10732.
<https://doi.org/10.1016/j.foodhyd.2021.107324>.
- 3- Azarifar M , Ghanbarzadeh B, Sowti M, Akhondzadeh Basti A, Abdulkhani A, Noshirvani N, Hosseini M. The optimization of gelatin-CMC based active films containing chitin nanofiber and Trachyspermum ammi essential oil by response surface methodology. *Carbohydrate Polymers.* 2019; 208: 457-468. <https://doi.org/10.1016/j.carbpol.2019.01.005>.
- 4- Bandyopadhyay P, Ghosh A K, Ghosh C. Recent developments on polyphenol-protein interactions: Effects on tea and coffee taste, antioxidant properties and the digestive system. *Food and Function.* 2012; 3(6): 592–605. <https://doi.org/10.1039/c2fo00006g>.
- 5- Bravin B, Peressini D, Sensidoni A. Development and application of polysaccharide–lipid edible coating to extend shelf-life of dry bakery products. *Food Eng.* 2006; 76(3): 280-290. <https://doi.org/10.1016/j.jfoodeng.2005.05.021>.
- 6- Cagri A, Ustunol Z, Ryser E T. Antimicrobial, mechanical and moisture barrier properties of low pH whey protein-based edible films containing p-aminobenzoic or Sorbic acids. *Food Sci.* 2001; J. 66 (6): 865-870. <https://doi.org/10.1111/j.1365-2621.2001.tb15188.x>.
- 7- Cheng S, Wang W, Li YGao.G, Zhang K, Zhou J. Cross-linking and filmforming properties of transglutaminase-modified collagen fibers tailored by denaturation temperature. *Food chemistry.* 2019; 271:527-35. <https://doi.org/10.1016/j.foodchem.2018.07.223>.
- 8- Choi, I, Lee S. E, Chang Y, Lacroix M., Han J. Effect of oxidized phenolic compounds on cross-linking and properties of biodegradable active packaging film composed of turmeric and gelatin. *LWT.* 2018; 93: 427–433. <https://doi.org/10.1016/j.lwt.2018.03.065>.

- 9- Di Giuseppe FA, Volpe S, Cavella S, Masi P, Torrieri E. Physical properties of active biopolymer films based on chitosan, sodium caseinate, and rosemary essential oil. *Food Packaging and Shelf Life*. 2022; 32:100817. <http://dx.doi.org/10.1016/j.fpsl.2022.100817>.
- 10- Ejaz M, Arfat YA, Mulla M, Ahmed J. Zinc oxide nanorods/clove essential oil incorporated Type B gelatin composite films and its applicability for shrimp packaging. *Food Packaging and Shelf Life*. 2018; 15:113-21. <http://dx.doi.org/10.1016/j.fpsl.2017.12.004>
- 11- Elansary HO, Szopa A, Klimek-Szczykutowicz M, Ekiert H, Barakat AA, Al-Mana FA. Antiproliferative, antimicrobial, and antifungal activities of polyphenol extracts from Ferocactus species. *Processes*. 2020; 8(2): 138. doi: 10.3390/pr8020138.
- 12- Fadaei M, Fallah A, Taheri A. Effect of Edible Starch Coating Enrichmed with Pennyroyal (*Mentha pulegium*) Essential Oil on Shelf life of Rainbow Trout Fillet Esmail Pirali khirabadi1, *Journal of Veterinary Research*. 2020; 75:3, 300-309. <https://doi.org/10.22059/jvr.2019.266480.2854>.
- 13- Farzaeia M H, Rahimia R, Attarb F, Siavoshic F, Sanieec S, Hajimahmoodid M, Mirnezamie T, Khanavie M. Chemical Composition, Antioxidant and Antimicrobial Activity of Essential Oil and Extracts of *Tragopogon graminifolius*, a Medicinal Herb from Iran. *Natural Product Communications*. 2014; 9(1):121-124.
- 14- Fernández-Cervera M, Heinämäki J, Krogars K, Jörgensern A C, Karjalainen M, Iraizoz-Colarte A. Solid-state and mechanical properties of aqueous chitosan- amylose starch films plasticized with polyols. *Journal of Pharmaceutical Science and Technology*. 2004; 5: 1-6. <https://doi.org/10.1208/pt050115>.
- 15- Fiore A, Park S, Volpe S, Torrieri E and Masi P. Active packaging based on PLA and chitosan-caseinate enriched rosemary essential oil coating for fresh minced chicken breast application. *Food Packaging and Shelf Life*. 2021; 29: 100708.
- 16- Ghadermarzi R, Keramat J, Goli SA. The effect of oregano essential oil on theproperties of hydroxypropyl methyl cellulose edible film. *Quarterly journal of new food technologies*. 2013; 2(7): 61-74. <https://doi.org/10.22104/jift.2015.130>.
- 17- Ghosh C. Recent developments on polyphenol-protein interactions: Effects on tea and coffee taste, antioxidant properties and the digestive system. *Food and Function*. 2012; 3(6): 592–605. <https://doi.org/10.1039/c2fo0006g>.
- 18- Gomez-Guillén M C, Giménez B, López-Caballero M E, Montero M P. Functional and bioactive properties of collagen and gelatin from alternative sources. *Potravinarstvo Slovák Jurnal Of Food Sciences*. 2011; 25: 1813-1827. <http://dx.doi.org/10.1016/j.foodhyd.2011.02.007>.

- 19- Heidari M, Malekmoohamadi L. Medicinal plants in Ghasemloo valley of Uromieh. *Iran J Med Arom Plants*. 2007; 3: 14-20. [https://doi.org/10.1016/S1995-7645\(14\)60257-1](https://doi.org/10.1016/S1995-7645(14)60257-1).
- 20- Hosseini M, Rahimi Z, saifi.T. Production of edible film based on gelatin containing thyme essential oil: investigation of its physicochemical, mechanical, antioxidant and microbial properties. *Iranian food science and technology*. 2023; 20(135): 129-139. [10.22034/FSCT.19.135.129](https://doi.org/10.22034/FSCT.19.135.129).
- 21- Jamróz E, Juszczak L, Kucharek M. Investigation of the physical properties, antioxidant and antimicrobial activity of ternary potato starch-furcellaran-gelatin films incorporated with lavender essential oil. *International journal of biological macromolecules*. 2018; 114:1094-101. <https://doi.org/10.1016/j.ijbiomac.2018.04.014>.
- 22- Jancikova S, Jamróz E, Kulawik P, Tkaczewska J, Dordevic D. Furcellaran/gelatin hydrolysate/rosemary extract composite films as active and intelligent packaging materials. *Intern J Biol Macrom*. 2019; 131: 19-28. N <https://doi.org/10.1016/j.ijbiomac.2019.03.050>.
- 23- Jooyandeh H. Whey protein films and coatings: A review. *Pakistan Journal of Nutrition*. 2011; 10 (3): 296-301. <http://dx.doi.org/10.3923/pjn.2011.296.301>.
- 24- Khanzadi M, Jafari S M, Mirzaei H, Chegini F K, Maghsoudlou,M Y. Dehnad, DPhysical and mechanical properties in biodegradable films of whey protein concentrate-pullulan by application of beeswax. *Carbohydrate polymers*. 2015; 118: 24-29. <https://doi.org/10.1016/j.carbpol.2014.11.015>.
- 25- Koné WM, Atindehou KK, Kacou-N'douba A, Dosso M. Evaluation of 17 medicinal plants from Northern Côte d'Ivoire for their in vitro activity against *Streptococcus pneumoniae*. *Afr J Tradit Complement Altern Med*. 2006; Aug; 4(1): 17-22.
- 26- Li, Jiang, Y, Liu F, Ren F, Zhao G, Leng X. Fabrication and characterization of TiO₂/whey protein isolate nanocomposite film. *Food Hydrocolloids*. 2011; 25(5): 1098-1104. <http://dx.doi.org/10.1016/j.foodhyd.2010.10.006>.
- 27- Moradi M, Tajik H, No HK, Razavi Rohani S, Oromiehie A, Ghasemi S. Potential inherent properties of chitosan and its applications in preserving muscle food. *J Chitin Chitosan*. 2010; 15: 35-45.
- 28- Oussalah M, Caillet S, Saucier L, Lacroix M. Inhibitory effects of selected plant essential oils on the growth of four pathogenic bacteria: *E coli* 0157: H7, *Salmonella typhimurium*, *Staphylococcus aureus* and *Listeria monocytogenes*. *Food Control*. May 2007; 18(5):414-420. <http://dx.doi.org/10.1016/j.foodcont.2005.11.009>.

- 29- Piñeros-Hernandez D, Medina-Jaramillo C, López-Córdoba A, Goyanes S. Edible cassava starch films carrying rosemary antioxidant extracts for potential use as active food packaging. *Food Hydrocolloids*. 2017; 63: 488-495. <http://dx.doi.org/10.1016/j.foodhyd.2016.09.034>.
- 30- Rangaraj VM, Devaraju S, Rambabu K, Banat F and Mittal V. Silver-sepiolite (Ag-Sep) hybrid reinforced active gelatin/date waste extract (DSWE) blend composite films for food packaging application. *Food Chemistry*. 2022; 369: 130983. <https://doi.org/10.1016/j.foodchem.2021.130983>
- 31- Sabiha-Hanim S, Siti-Norsafurah A. Physical properties of hemicellulose films from sugarcane bagasse. *Journal of Chemical Engineering* 2012; 42:1390-1395. <http://dx.doi.org/10.1016/j.proeng.2012.07.532>.
- 32- Soleimani N, Sattari M, Sepehri Seresht S, Daneshmandi S Derakhshan S. Evaluation of drug interactions and antibacterial activity of black cumin essential oil (*Bunium persicum*) against a number of gram-positive and gram-negative bacteria. *Iranian Journal of MedicalMicrobiology*. 2010 ; 4(1):26-34. In Persian.
- 33- Souza VGL, Pires JRA, Vieira ÉT, Coelhoso IM, Duarte MP, Fernando AL. Activity of chitosan-montmorillonite bionanocomposites incorporated with rosemary essential oil: From in vitro assays to application in fresh poultry meat. *Food Hydrocolloids* 89. 2019; 241–252.
- 34- Sui Chin S, Han Lyn F, Nur Hanani. Effect of Aloe vera (Aloe barbadensis Miller) gel on the physical and functional properties of fish gelatin films as active packaging. *Food Packaging and Shelf Life*. 2017; 12: 128–134. Amil Nadu, India. <https://doi.org/10.1016/j.fpsl>.
2017.04.008.
- 35- Tavassoli M, Sani MA, Khezerlou A, Ehsani A and McClements DJ. Multifunctional nanocomposite active packaging materials: Immobilization of quercetin, lactoferrin, and chitosan nanofiber particles in gelatin films. *Food Hydrocolloids*. 2021; 118: 106747. <https://doi.org/10.1016/j.foodhyd.2021.106747>.
- 36- Wakai M, Almenar E. Effect of the presence of montmorillonite on the solubility of whey protein isolate films in food model systems with different compositions and pH. *Food Hydrocolloids*. 2015; 43: 612-621. <http://dx.doi.org/10.1016/j.foodhyd.2014.07.022>.
- 37- Wang H, Ding F, Ma L, Zhang Y. Edible films from chitosan-gelatin: Physical properties and food packaging application. 2021; 40: 100871. <http://dx.doi.org/10.1016/j.fbio.2020.100871>.

- 38- Zhang A, Han Y, Zhou Z. Characterization of citric acid crosslinked chitosan/gelatin composite film with enterocin CHQS and red cabbage pigment. *Food Hydrocolloids*. 2023; 135: 108144. <http://dx.doi.org/10.1016/j.foodhyd.2022.108144>.
- 39- Zhang X, Liu Y, Yong H, Qin Y, Liu J, Liu J. Development of multifunctional food packaging films based on chitosan, TiO₂ nanoparticles and anthocyanin-rich black plum peel extract. *Food Hydrocolloids*. 2019; 94: 80-92. <https://doi.org/10.1016/j.foodhyd.2019.03.009>.

Investigating the physicochemical and antimicrobial properties of the edible film based on whey protein-gelatin containing *Tragopogon Graminifolius* Essential Oil

ElhamAhmadi¹, Masoumeh Haider Beigi^{2*}, Hamed Hassanzadeh³, Mohammadyar Hosseini^{4*}

ph.D in Food Science and Technology, Professor Department of Health and Food Industry, Faculty of Paraveterinary Medicine, Ilam University, Ilam, Iran

Bachelor student of food hygiene, Faculty of paraveterinary, Ilam University, Ilam, Iran

Assistant Professor, Department of Health and Food Industry, Faculty of Paraveterinary Medicine, Ilam University, Ilam, Iran

Assistant Professor, Department of Food Technology, Faculty of Agriculture, Ilam University, Ilam, Iran,

Abstract

The development of innovative biopolymers obtained from agricultural sources or food product waste is one of the leading technologies for maintaining the quality, freshness and safety of food. The idea of using polymers for environmentalists in packaging applications and their ability to form films has been considered. In this study, biodegradable packaging active film based on gelatin and whey protein and different concentrations (2, 3, 1 and 4%) containing *Tragopogon graminifolius* Essential Oil were prepared. The physicochemical properties of the produced active films such as (turbidity, thickness, solubility and vapor permeability), mechanical tests (elongation to breaking point, tensile strength and Young's modulus), antioxidant activity and antimicrobial activity were considered. Experiments with three replications were analyzed with a completely randomized design and one-way analysis of variance with SPSS₂₆ software at a probability level of 5%. Among the treatments, the lowest solubility was in the 4% concentration of the Essential Oil and the lowest vapor permeability was in the low concentration of the Essential Oil in the treatments. The highest elongation at break point (24%) in 3% concentration, tensile strength (11 MPa) and Young's modulus (140 MPa) was in 2% concentration of *Tragopogon graminifolius* Essential Oil. Among the treatments, the difference in the amount of turbidity of the resulting films was not significant ($p>0.05$), although it had the highest amount at the highest Essential Oil concentration. . In edible film treatments, antioxidant activity using DPPH radicals was significant in all concentrations ($p<0.05$). Evaluation of the antimicrobial activity of the film was done with the help of diffusion disc method. In this test, the largest diameter of the inhibition zone was *Staphylococcus aureus* and *Escherichia coli* at a concentration of 4% with an average diameter of 8.2 mm. And the lowest diameter of the inhibition halo in the same concentration was reported for *Pseudomonas* 4.7 mm. The results of this research showed that by adding 4% concentration of essential oil to the whey-gelatin film, in addition to inhibiting the growth and proliferation of bacteria with favorable mechanical properties, it improved the antioxidant properties of the combined film, it improved the antioxidant properties of the combined film And it can also be used as a suitable coating to protect food.

Keywords: Film, *Tragopogon graminifolius*, Essential Oil, Gelatin, Whey protein, Tensile strength

* Corresponding author: m.hosseini@ilam.ac.ir